

Ein und Ausgabe: Farbmatisches Drucker-Reflektiv-System FRS12_95a, $L^*=20_{95}$ für relativen CIELAB-Bunton $h^* = lab^*h^* = h_{ab}/360 = 0.451$ $u^*_e = g00b$

Daten für jede Farbe:

lab^*tch^* und lab^*icu^*

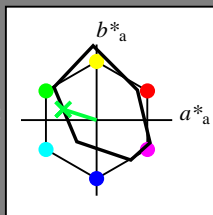
Buntontexte:

$u^*_e = g00b$ $u^*_d = l23c$

Kontrastreduzierungsfaktor:

$c_R = 0.9$

Dreiecks-Helligkeit t^*



FRS12_95a; adaptierte CIELAB-Daten

u^*_e	$L^*=L^*_a$	a^*_a	b^*_a	$C^*_{ab,a}$	$h^*_{ab,a}$
O _{Ma}	43.8	53.91	39.75	66.98	36
Y _{Ma}	87.58	-4.65	98.29	98.4	93
L _{Ma}	51.95	-56.34	43.53	71.2	142
C _{Ma}	59.62	-26.2	-28.62	38.8	228
V _{Ma}	25.01	45.2	-52.8	69.51	311
M _{Ma}	45.88	70.67	-29.93	76.75	337
N _{Ma}	20.0	0.0	0.0	0.0	0
W _{Ma}	95.0	0.0	0.0	0.0	0
R _{Ma}	39.92	58.74	27.99	65.07	25
J _{Ma}	81.26	-2.89	71.56	71.62	92
G _{Ma}	52.23	-42.42	13.6	44.55	162
B _{Ma}	30.57	1.41	-46.47	46.49	272

Daten für Maximalfarbe (Ma):

$LAB^*LAB^*_{Ma}: 55 -44 14$

$LAB^*LCH^*_{Ma}: 55 46 162$

$lab^*rgb^*_{Ma}: 0.0 1.0 0.0$

$lab^*olv^*_{Ma}: 0.0 1.0 0.23$

Dreiecks-Helligkeit t^*

FRS12_95a; adaptierte CIELAB-Daten

u^*_e	$L^*=L^*_a$	a^*_a	b^*_a	$C^*_{ab,a}$	$h^*_{ab,a}$	u^*_d
r00j	44.18	56.95	27.14	63.08	25	m81o
r25j	47.38	49.13	44.53	66.31	42	o10y
r50j	57.76	35.24	58.41	68.22	59	o40y
r75j	69.81	19.13	74.52	76.94	76	o69y
j00g	87.06	-3.94	97.58	97.66	92	o98y
j25g	72.25	-26.89	74.73	79.42	110	y34l
j50g	60.82	-43.48	57.15	71.81	127	y69l
j75g	52.51	-54.15	38.27	66.31	145	l03c
g00b	55.08	-44.06	14.13	46.27	162	l23c
g25b	57.22	-35.64	-6.03	36.15	190	l55c
g50b	58.9	-29.03	-21.86	36.34	217	l87c
g75b	54.42	-15.48	-32.25	35.77	244	c20v
b00r	46.36	1.15	-37.88	37.9	272	c53v
b25r	33.76	27.14	-46.69	54.01	300	c87v
b50r	38.71	61.92	-37.78	72.54	329	v67m
b75r	45.08	64.27	-3.32	64.36	357	m33o

